

DM9601

Vista parcial de alternancia de
pizarras y esquistos en niveles
centimétricos correspondientes
a los materiales del C.E.G. del
Precámbrico Sup. (16).





DM9602

Vista parcial de repliegues
de la estratificación S_0 en
materiales del C.E.G. (16).



DM9603

Panorámica de los replanos terciarios existentes al S. de Brozas depositados sobre los materiales del C.E.G.



DM 9604

Detalle de las arcosas de la foto anterior (17).



DM 9605

Vista parcial de alternancias de pizarras y grauvacas
del C.E.G. (2) en la aureola de metamorfismo.



DM9606

Detalle de la foto anterior. Obsérvese el tamaño de las "moscas" (1 cm.) y su disposición general según planos de esquistosidad S_1 .



DM 9607

Panorámica de Brozas.

- 1.- Granitos de grano grueso (mosc \pm biot \pm clorit.).
Ortoneisificado (9).
- 2.- Pizarras mosqueadas, pizarras nodulosas y cornubianitas (2).



DM9608

Vista general de aplitas de facies marginales deformadas
(6) en las proximidades de Brozas. c.c. 522.



DM9609

Detalle de la foto anterior.



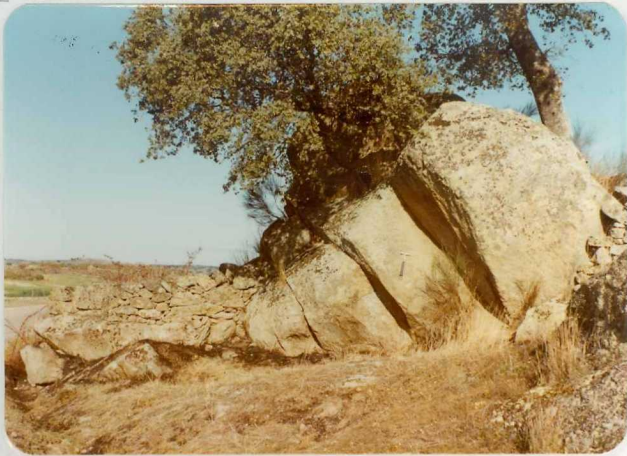
DM9610

Panorámica de ortoneises microglandulares cuarcíferos
(7) en Villa del Rey.



DM96II

Detalle de la foto anterior.



DM9612

Vista parcial de granitos de grano grueso a medio de dos
micas tectonizadas de Mata de Alcántara (8).

DM9613

Detalle de la foto anterior.





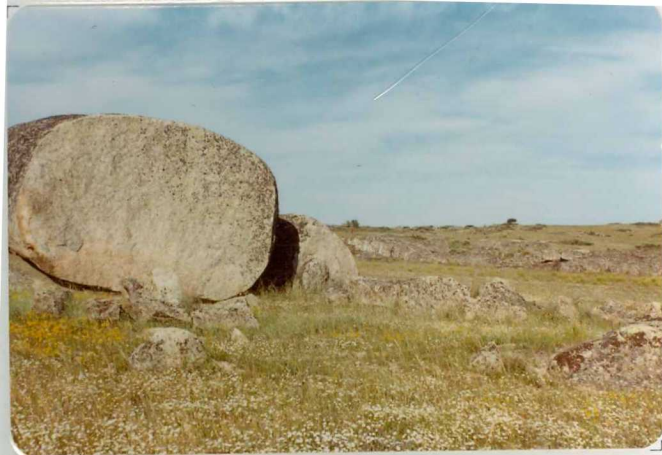
DM9614

Vista parcial de la cantera de granitos ortoneisificados de grano grueso (mosc.tbiot.+ clorita). Facies de Brozas.



DM9615

Detalle de la foto anterior.



DM9616

Panorámica de granitos de feldespatos alcalino aplítico de la Zafrilla de Casar (12) en la c.c. Arroyo de la Luz - Casar de Cáceres.



DM9617

Detalle de la foto anterior.



DM9618

Vista parcial de talud en la
c.c. 523 correspondiente a -
granitos de grano grueso y -
leucogranitos (13) en donde
se puede ver distintos grados
de alteración.



DM9619

Detalle de la foto anterior.



DM9620

Panorámica de granitos biotíticos-moscovíticos con megacristales feldespáticos (15).



DM9621

Panorámica de granitos de grano grueso y leucogranitos (13) con típica disyunción bolar. El fondo 1 diabasas del dique - de Plasencia-Alentejo.



DM9622

Vista parcial de granitos biotíticos-moscovíticos con megacristales feldespáticos (15). Obsérvese la potente alteración de los mismo.



DM9623

Detalle de la foto anterior en donde se aprecian megacristales feldespáticos de hasta 5 cm.



DM9624

Vista parcial de los granitos biotíticos-moscovíticos ortonei-sificados con megacristales feldespáticos.

DM9625

Detalle de la foto anterior.

